

Напряженно-деформированное состояние и энергетические потоки в пластине со стационарной трещиной при импульсном нагружении

Ю. А. Костандов, А. Н. Рыжаков, И. Е. Шиповский

Таврический национальный университет, Симферополь, Украина

Рассмотрены напряженно-деформированное состояние и энергетические потоки в сплошной бесконечной пластине и пластине со стационарной трещиной конечной длины при их импульсном нагружении. Разработаны модель формирования зоны повышенных напряжений и зоны разгрузки, а также численная методика определения их параметров. Получены аналитические выражения для количественного анализа напряженно-деформированного состояния и энергетических потоков в пластине вблизи вершины стационарной трещины при произвольном импульсном нагружении. Проведено сравнение теоретических результатов с данными эксперимента по инициированию магистральных трещин в плоских образцах из твердых полимеров. Сформулирован количественный критерий различия между динамическим и квазистатическим нагружениями трещины. Показана возможность единого подхода к описанию динамического и статического разрушения.

Ключевые слова: напряженно-деформированное состояние, энергетические потоки, трещина, импульсное нагружение, твердые полимеры, поляризационно-оптический метод.

Введение. Для экспериментальных исследований динамических процессов трещинообразования используются образцы в виде пластин конечной толщины с имитирующим трещину пропилом. Инициирование разрушения осуществляется посредством генерирования в образце упругих волн напряжений. Наличие трещины в пластине существенно нарушает однородность распределения энергии деформации и обуславливает возникновение областей, нагруженных с различной интенсивностью. На формирование волнового поля напряжений в трехмерной пластине кроме характера нагружения значительное влияние оказывает наличие свободных торцевых и фронтальных поверхностей, что приводит к возникновению дифрагированных волн, называемых волнами разгрузки. Их множественная интерференция затрудняет анализ данных эксперимента. Определение величины динамического коэффициента интенсивности напряжений, компонентов тензора напряжений в прилегающей к трещине зоне и оценка интенсивности потока энергии в ее вершину невозможны без четкого представления о механизме формирования напряженно-деформированного состояния (НДС) в ограниченной пластине с трещиной, изучению которого и посвящена настоящая работа.

Напряженно-деформированное состояние сплошной бесконечной пластины. Наличие двух свободных фронтальных поверхностей у бесконечной пластины приводит к существенному отличию образующейся волновой картины от картины, наблюдаемой в бесконечном теле. Характер НДС определяется соотношением между толщиной пластины d и амплитудно-временными параметрами нагрузки. В случае гармонической нагруз-

ки, когда длина волны $\lambda \ll d$, пластину можно рассматривать как бесконечную среду. Если же $\lambda \gg d$, то реализуется вырожденный случай тонкой пластины.

При перпендикулярном торцевом гармоническом воздействии, симметричном относительно срединной плоскости тонкой пластины, в ней генерируется плоская продольная волна со скоростью распространения

$$c_{1п} = \sqrt{\frac{E}{\rho(1-\nu^2)}}, \quad (1)$$

где E – модуль Юнга; ρ – плотность материала пластины; ν – коэффициент Пуассона. В такой волне главные напряжения параллельны (σ_2) и перпендикулярны (σ_1) ее фронту и связаны простым соотношением:

$$\sigma_2 = \nu\sigma_1, \quad (2)$$

а компоненты вдоль оси z равны нулю: $\sigma_{zi} = 0$.

Плоская продольная волна осуществляет перенос потенциальной P и кинетической T энергий, для которых

$$\frac{dP}{dV} = \frac{E}{2(1-\nu^2)} \varepsilon_{xx}^2; \quad \frac{dT}{dV} = \frac{1}{2} \rho \dot{u}_x^2; \quad \frac{dP}{dV} = \frac{dT}{dV}, \quad (3)$$

где ε_{xx} и u_{xx} – соответственно деформации и смещения вдоль оси OX , направленной перпендикулярно к фронту волны.

При импульсном нагружении тонкой пластины в условии $\lambda \gg d$ можно взять в качестве λ минимальную длину волны λ_{\min} в спектре Фурье нагружающего импульса. Действительно, аппроксимируем импульс колоколообразной функцией $\sigma_1(t) = \sigma_{01} \exp[-\beta^2(t-t_0)^2]$, где σ_{01} – амплитуда; β – коэффициент затухания импульса; t_0 – время нарастания импульса. Учитывая только те гармонические составляющие, амплитуды которых не являются исчезающе малыми по сравнению с максимумом спектральной функции, можно получить следующее условие вырожденности системы: $c_{1п} t_0 \gg d$. При этом формулы (1)–(3) остаются справедливыми, поскольку дисперсия отсутствует и в силу принципа суперпозиции все силовые и энергетические параметры в них находятся суммированием по всем гармоническим составляющим нагружающего импульса.

Напряженно-деформированное состояние и энергетические потоки в бесконечной пластине с трещиной. При распространении в сплошной бесконечной пластине импульса растяжения характеристики НДС и объемная плотность полной энергии $\frac{dW}{dV}$ вдоль его фронта остаются постоянными. Если же на пути распространения волновых фронтов находится трещина, то вблизи нее однородность НДС и $\frac{dW}{dV}$ вдоль волновых фронтов,

а также баланс между кинетической и потенциальной энергиями (3) будут нарушены. В окрестности трещины появятся области, в которых наблюдается повышение и понижение значений энергии по сравнению со значениями энергии в аналогичном образце без трещины при идентичных условиях нагружения. Область повышенной концентрации энергии назовем зоной повышенных напряжений (ЗПН), область пониженной концентрации – зоной разгрузки (ЗР).

Рассмотрим случай, когда ось трещины перпендикулярна к направлению распространения импульса нагружения. Для изучения распределения плотности энергии $\frac{dW}{dV}$ в ЗПН и ЗР, а также закономерностей протекания процесса энергообмена между этими зонами проводился численный расчет распределения величин объемной плотности энергии $\frac{dW_1}{dV}$ в сплошной прямоугольной пластине размером $H \times L \times d$ ($H = 120$ мм; $L = 90$ мм; $d = 4$ мм) и $\frac{dW_2}{dV}$ в аналогичной пластине с центральной трещиной длиной $L_0 = 10$ мм. Пластины нагружались симметричным импульсом $\sigma(t) = \dot{\sigma}t$; $\dot{\sigma} = 5 \cdot 10^5$ МПа/с. Для численного расчета искомых величин использовалась основная система дифференциальных уравнений механики сплошной среды, содержащая уравнения неразрывности, движения и энергии. Если разместить начало системы координат в центре образца (ось OY направлена вдоль оси трещины, нагрузка прикладывается параллельно оси OX), то начальные и граничные условия имеют вид

$$\begin{cases} \sigma_{ij}(x, y, z, 0) = 0; \quad \rho(x, y, z, 0) = \rho^0; \quad \bar{u}(x, y, z, 0) = 0; \\ \sigma_n(x, \pm L/2, z, 0) = \sigma_\tau(\pm H/2, \pm L/2, z, t) = 0; \\ \sigma_n(H/2, y, z, t) = \sigma(t). \end{cases} \quad (4)$$

Основная система уравнений механики сплошной среды с начальными и граничными условиями (4) полностью определяет краевую задачу, которая решается численно модифицированным методом конечных элементов [1].

При определении плотности избыточной энергии $\Delta = \frac{dW_2}{dV} - \frac{dW_1}{dV}$ в идентичных точках пластин установлено наличие двух зон: для первой зоны разность Δ положительна, что позволяет отождествить ее с зоной повышенных напряжений, для второй зоны она отрицательна, следовательно, – это зона разгрузки. Пример результата расчета изолиний $\Delta = \text{const}$ для двух моментов времени показан на рис. 1. Проведение описанной процедуры для различных моментов времени позволило проследить динамику развития ЗПН и ЗР (рис. 2). Полная энергия в ЗПН и ЗР складывается из потенциальной P и кинетической T составляющих. Представление о соотношении между ними дает таблица.

Распределение кинетической и потенциальной энергии в ЗПН и ЗР

Время нагружения, мкс	Полная энергия W , Дж	Потенциальная энергия P , Дж	Кинетическая энергия T , Дж
20	$\frac{2,70 \cdot 10^{-3}}{-3,60 \cdot 10^{-3}}$	$\frac{2,10 \cdot 10^{-3}}{-6,75 \cdot 10^{-3}}$	$\frac{0,60 \cdot 10^{-3}}{3,13 \cdot 10^{-3}}$
30	$\frac{8,35 \cdot 10^{-3}}{-10,06 \cdot 10^{-3}}$	$\frac{7,37 \cdot 10^{-3}}{-17,90 \cdot 10^{-3}}$	$\frac{0,99 \cdot 10^{-3}}{7,23 \cdot 10^{-3}}$

Примечание. Над чертой приведены данные для ЗПН, под чертой – для ЗР.

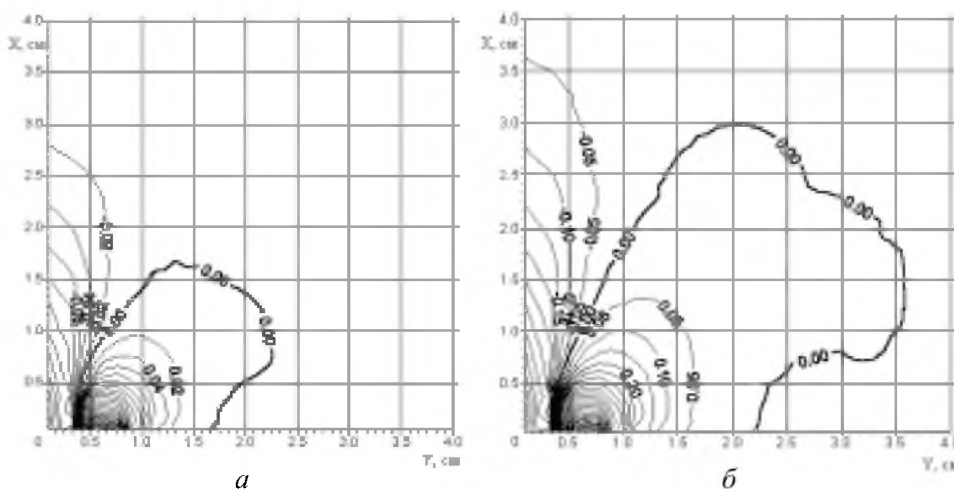


Рис. 1. Распределение плотности избыточной энергии Δ [10^{-1} Дж/м³] вблизи вершины трещины при динамическом нагружении со скоростью $\dot{\sigma} = 5 \cdot 10^5$ МПа/с: а – $t = 20$ мкс; б – $t = 30$ мкс.

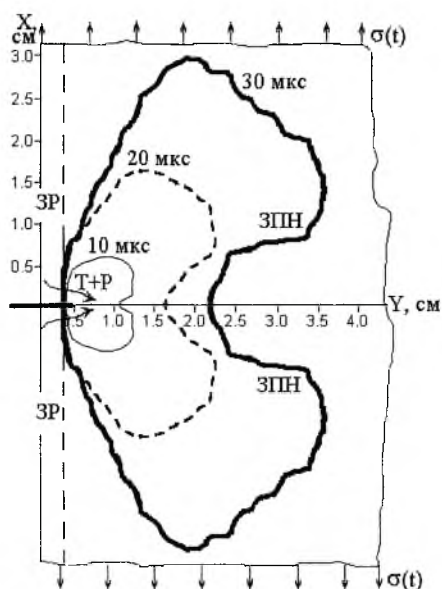


Рис. 2. Схема развития зоны повышенных напряжений при симметричном растяжении стационарной трещины.

Анализ полученных данных показывает:

1) увеличение избытка энергии в ЗПН сопровождается возрастанием ее дефицита в ЗР, что свидетельствует о перетоке энергии из ЗР в ЗПН;

2) в ЗПН сконцентрирована в основном упругая энергия, т.е. $W \approx P; T \approx 0$;

3) наибольшая доля энергии в ЗПН поступает из прямоугольных областей, расположенных над берегами трещины, что позволяет рассматривать их в качестве первого приближения формы ЗР;

4) максимальная скорость развития ЗПН не превышает скорость поперечных волн c_2 в материале, а скорость развития ЗР равна $c_{1п}$;

5) ЗПН имеет симметричную относительно оси трещины форму, а ее линейный размер R является функцией полярного угла θ и времени t :

$$R = c_2 t \mu(\nu, \theta),$$

где $0 < \mu(\nu, \theta) < 1$.

На основании этого разработаны следующие представления о модели формирования ЗПН.

Энергия подводится к полости трещины упругими продольными волнами со скоростью $c_{1п}$, а затем транспортируется по поверхностям трещины в ее вершину волнами Рэлея со скоростью c_R . Используя (3) и закон Гука для плоского напряженного состояния, можно представить энергию объема dV пластины, подверженного воздействию импульса растяжения, в виде

$$dW = \frac{1 - \nu^2}{E} \sigma_{xx}^2(t) c_1 d \, dt dl. \quad (5)$$

Величине dW может быть придан смысл энергии, поступающей на единицу длины свободной поверхности трещины dl в единицу времени dt . Интегрируя (5), можно определить величину энергии, поступившей в ЗПН к данному моменту времени t . Так, в случае линейно нарастающей нагрузки ($\dot{\sigma} = \text{const}$):

$$W = \frac{2(1 - \nu^2)}{E} c_1 d \int_0^{l_t} dl \int_0^{t_k} (\dot{\sigma} t)^2 dt, \quad (6)$$

где l_t – длина участка свободной поверхности трещины, с которого энергия успевает поступить в ЗПН к моменту времени t ; t_k – время, по истечении которого с данного участка dl свободной поверхности трещины энергия не попадает в ЗПН, т.е. $t_k = t - l / c_R$ (l – расстояние от вершины трещины до участка dl), а время отсчитывается от момента начала воздействия импульса нагружения на берега трещины. Полагая, что ввиду симметрии задачи сток энергии осуществляется от середины свободной поверхности трещины к ее вершинам, находим

$$l_t = \begin{cases} c_R t & \text{при } t \leq \frac{L_0}{2c_R}; \\ \frac{L_0}{2} & \text{при } t > \frac{L_0}{2c_R}. \end{cases} \quad (7)$$

В результате интегрирования (6) получим

$$W = \begin{cases} \varphi(c_1, c_R, \dot{\sigma}) t^4, & t \leq \frac{L_0}{2c_R}; \\ \varphi(c_1, c_R, \dot{\sigma}) \left[t^4 - \left(t - \frac{L_0}{2c_R} \right)^4 \right], & t > \frac{L_0}{2c_R}, \end{cases} \quad (8)$$

где

$$\varphi(c_1, c_R, \dot{\sigma}) = \frac{1-\nu^2}{E} d c_1 c_R \dot{\sigma}^2.$$

Одной из основных характеристик НДС в области вершины трещины является коэффициент интенсивности напряжений (КИН), который в случае нормальной растягивающей нагрузки обозначается через K_I . Используя понятие КИН и известные асимптотические соотношения для компонентов тензора напряжений σ_{ij} ($i, j = x, y$) в непосредственной окрестности вершины трещины [2], выразим удельную плотность энергии $\frac{dW_s}{dV}$ для случая статического нагружения в виде

$$\frac{dW_s}{dV} = \frac{1+\nu}{2\pi E} \frac{1}{r} K_I^2 \Phi(\nu, \theta), \quad (9)$$

где

$$\Phi(\nu, \theta) = \cos^2 \frac{\theta}{2} \left\{ \frac{1-\nu}{1+\nu} + \sin^2 \frac{\theta}{2} \right\}.$$

При динамическом нагружении для любых значений частот плоских волн, входящих в волновой пакет нагружающего импульса, можно найти, согласно [3], достаточно малую окрестность вблизи вершины трещины $r \ll \lambda_{\min}$, где поле напряжений будет квазистатическим и плотность упругой энергии определяется выражением (9). В то же время благодаря конечности скорости распространения упругих волн размеры ЗПН конечны. Следовательно, плотность энергии в ЗПН убывает от значения $\frac{dW_s}{dV}$ в области вершины трещины до нуля на границе $r = R$ по зависимости, определяемой скоростью нагружения $\dot{\sigma}(t)$ и характеристиками материала пластины: коэффициентом ν и полярным углом θ .

При динамическом нагружении величина $\frac{dW}{dV}$ должна уменьшаться с увеличением расстояния r быстрее, чем в статике. В то же время показатель степени r не может превышать единицу, поскольку это приведет к расходимости интеграла, определяющего величину суммарной полной внутренней энергии в ЗПН. Поэтому в случае динамического нагружения предлагается выражение для величины $\frac{dW}{dV}$ записать в следующем виде:

$$\frac{dW}{dV} = \frac{1+\nu}{2\pi E} K_1^2 \Phi(\nu, \theta) \frac{1}{\alpha r}. \quad (10)$$

Функция $\alpha = \alpha(\theta, \nu, r, \dot{\sigma})$ должна быть безразмерной и удовлетворять ряду условий:

1) $\alpha > 1$ – условие более быстрого уменьшения $\frac{dW}{dV}$ по сравнению с $\frac{dW_s}{dV}$;

2) $\alpha \rightarrow 1$ – при $r \rightarrow 0, t \rightarrow \infty$, исходя из принципа соответствия;

3) $\alpha \rightarrow \infty$ при $r \rightarrow R$, исходя из конечности размеров ЗПН.

В связи с этим функцию α запишем в виде

$$\frac{1}{\alpha} = 1 - \left(\frac{r}{R} \right)^{j(t, \dot{\sigma})}. \quad (11)$$

Введенная здесь безразмерная функция $j(t, \dot{\sigma})$ для удовлетворения условий (1)–(3) должна быть такой, чтобы $\lim_{\dot{\sigma} \rightarrow \infty} j = 0$; $\lim_{t \rightarrow \infty, \sigma \rightarrow 0} j = \infty$.

В первом приближении можно задать

$$j = \frac{\sigma(t)}{\dot{\tilde{\sigma}} L_0 / (2c_R)} \cdot k, \quad (12)$$

где k – числовой коэффициент; $\dot{\tilde{\sigma}}$ – эффективная скорость нагружения в интервале времени $0 \dots t$:

$$\dot{\tilde{\sigma}} = \frac{1}{\sigma(t)} \int_0^t \dot{\sigma}^2(t) dt \approx \sum_i \frac{\sigma_{i+1} - \sigma_i}{\sigma(t)} \dot{\sigma}_i. \quad (13)$$

Следует отметить, что в случае линейно нарастающей нагрузки $\dot{\tilde{\sigma}} = \dot{\sigma}$.

Выбранная в таком виде функция j имеет простой физический смысл коэффициента динамичности нагрузки. Нагружение является квазистатическим, если $j > k$, т.е. величина нагрузки, которая может быть достигнута

за характерное время системы $\tau_0 = L_0 / (2c_R)$ при эффективной скорости нагружения, не превышает существующей в данный момент величины $\sigma(t)$. Чем ближе величина $\dot{\sigma}\tau_0$ к значению $\sigma(t)$, тем в большей степени динамическим становится нагружение.

Теперь с учетом (9) получим выражение для величины энергии в ЗПН для линейно нарастающей нагрузки:

$$W = \frac{1+\nu}{2\pi E} \frac{j}{j+1} dK_I^2 c_2 t A, \quad (14)$$

где

$$A = \int_{-\pi}^{\pi} \Phi(\nu, \theta) \mu(\nu, \theta) d\theta.$$

Заметим, что вычисление константы A с помощью приведенного интеграла возможно только при условии точного решения нестационарной динамической задачи о дифракции импульса растяжения на трещине конечной длины.

Приравнявая (8) и (14), получаем

$$K_I = \left\{ \frac{\pi(1-\nu)}{3A} \frac{j+1}{j} \frac{c_1 c_R}{c_2} \right\}^{1/2} \dot{\sigma} \begin{cases} t^{3/2}, & t \leq \frac{L_0}{2c_R}; \\ \left[\frac{1}{t} \left(t^4 - \left(t - \frac{L_0}{2c_R} \right)^4 \right) \right]^{1/2}, & t > \frac{L_0}{2c_R}. \end{cases} \quad (15)$$

Рассмотрим частный случай статического нагружения. Поскольку квазистатическим является нагружение при $\dot{\sigma} = \text{const}$ (любое изменение скорости нагружения вызывает динамическое перераспределение напряжений в области вершины трещины), то статическое нагружение – предельный случай квазистатического при $\dot{\sigma} \rightarrow 0$. Это означает, что время нагружения $t \rightarrow \infty$. При этом необходимо выполнение условия

$$\lim_{\dot{\sigma} \rightarrow 0, t \rightarrow \infty} \sigma(t) = \sigma_s,$$

где σ_s – статическое напряжение.

Проведя предельный переход к статике в выражении (15), получаем

$$\lim_{\dot{\sigma} \rightarrow 0, t \rightarrow \infty, j \rightarrow \infty} K_I = \left\{ \pi \frac{\sqrt{1-\nu}}{A} \frac{2\sqrt{2}}{3} \right\}^{1/2} \sigma_s \sqrt{L_0}. \quad (16)$$

Однако в случае статического растяжения выражение (16) должно принять вид

$$K_{Is} = \sqrt{\frac{\pi}{2}} \sigma_s \sqrt{L_0}. \quad (17)$$

Поэтому сопоставление выражений (16) и (17) позволяет определить константу A :

$$A = \frac{4\sqrt{2}}{3} \sqrt{1-\nu}. \quad (18)$$

Справедливость выражений (12), (15)–(18) нуждается в экспериментальной проверке. При этом необходимо учитывать, что эксперимент проводится на образцах в виде пластин конечных размеров, при растяжении которых наряду с генерируемыми в них плоскими симметричными волнами расширения образуются волны разгрузки от свободных поверхностей пластины, искажающие исходное напряженное состояние. Однако, учитывая симметрию нагружения, можно показать, что в центральной части конечной пластины касательные напряжения в волнах нагрузки взаимно компенсируются и НДС будет плоским. Соотношение между главными компонентами тензора напряжений будет зависеть от времени через коэффициент $\nu^*(t)$: $\sigma_2 = \nu^* \sigma_1$.

Использование функции ν^* позволяет, не вдаваясь в очень сложный анализ множественной интерференции волн разгрузки, путем соответствующих изменений в соотношении (8) переписать выражение для энергии, поступающей в ЗПН около достаточно малой, по сравнению с шириной образца, трещины:

$$W = \frac{1}{2E} c_1 d \int_0^{l_1} dl \int_0^{t_{k2}} \sigma_{xx}^2 (1 + \nu^{*2} - 2\nu\nu^*) dt, \quad (19)$$

где σ_{xx} – действующее нормально к берегам трещины напряжение в нагружающем импульсе.

Выражение для величины K_I в ограниченном образце, аналогичное (15), примет вид

$$K_I = \left\{ \frac{\pi}{(1+\nu)A} \frac{j+1}{j} \frac{c_1}{c_2} \frac{1}{t} \int_0^{l_1} dl \int_0^{t_k} \sigma_{xx}^2 (1 + \nu^{*2} - 2\nu\nu^*) dt \right\}^{1/2}. \quad (20)$$

Необходимая для нахождения КИН подынтегральная функция $\varepsilon(t) = \sigma_{xx}^2 (1 + \nu^{*2} - 2\nu\nu^*)$ определяется численно-экспериментальным методом.

Методика и результаты экспериментов. Образцы для экспериментов изготавливали в виде прямоугольных пластин размером $H = 120$ мм, $L = 90$ мм, $d = 4$ мм. В середине пластины параллельно короткой стороне выполнялся пропил длиной $L_0 = 10$ мм с радиусом у вершины $r_0 = 5$ мкм, имитирующий

начальную трещину. Для изготовления образцов использовали оптически чувствительные материалы – полиметилметакрилат (ПММА) и отвердевшую эпоксидную смолу (ЭД-20 МТГФА).

Равномерно распределенная импульсная нагрузка прикладывалась к коротким ($L=90$ мм) сторонам образца по нормали к оси трещины. Для реализации данной схемы нагружения использовалось нагрузочное устройство [4], основными элементами которого являются две пары неподвижных и пара подвижных жестких медных пластин, объединенных в единую конструктивную систему и соединенных токопроводами. Образец закреплялся между подвижными пластинами. Их смещение, приводящее к динамическому нагружению, осуществлялось за счет сил электромагнитного взаимодействия, возникающих при пропускании через пластины импульса электрического тока. Для нагружения использовалась электрическая энергия, запасенная в накопительных конденсаторах.

Варьирование скоростью деформации в импульсе нагружения, необходимое для исследования влияния режима нагружения на параметры процесса трещинообразования, осуществлялось путем изменения зарядного напряжения U накопительных конденсаторов и их емкости C , а также введением в разрядную цепь дополнительной индуктивности.

Высокоскоростная, бесконтактная и безынерционная регистрация полей напряжений в области вершины трещины в виде картин полос изохром (рис. 3) выполнялась на поляризационно-динамической установке [5] с помощью камеры СФР-1М. Для экспериментального определения КИН использовалась известная методика, приведенная в [2]. В фиксированной точке образца (x_0, y_0) поляризационно-оптическим методом осуществлялась фотоэлектронная регистрация величины максимального касательного напряжения $\tau_{\max}(t)$ в нагружающем импульсе [6].



Рис. 3. Кинограмма картин изохром в области вершины трещины. (Временное разрешение 2 мкс; увеличение – $\times 7$. Определение величины динамического КИН $K_I = \sigma_0 m_p \sqrt{2\pi r_m} / d$ основано на измерении максимального расстояния r_m от вершины трещины до ближайшей к ней изохроматической петли (m_p – порядок полосы; d – толщина образца; σ_0 – динамический коэффициент).)

Экспериментальная зависимость $\tau_{\max}(t, x_0, y_0)$ использовалась в численном решении задачи о динамическом растяжении рассматриваемой пластины с центральной трещиной для определения величины нормального растягивающего напряжения $\sigma_{xx}(t, x = \pm H/2)$, действующего на торцевые

поверхности пластины. В качестве нулевого приближения для численного расчета полагали

$$\sigma_{xx}^0(t, x = \pm H/2) = \frac{2}{1-\nu} \tau_{\max} \left(t - \frac{x_0}{c_1} \right), \quad (21)$$

что соответствует развитию в пластине исключительно системы плоских продольных волн расширения. После нахождения величины $\sigma_{xx}(t, x = \pm H/2)$ моделировалось напряженно-деформированное состояние сплошного образца тех же размеров, нагруженного этим же импульсом растяжения. Полученные в численном расчете данные относительно однородного напряженного состояния в центральной части пластины позволили определить величины $\nu^*(t)$ и $\sigma_{xx}(t)$, необходимые для нахождения функции $\varepsilon(t)$ и вычисления интеграла (20). Временные зависимости КИН, полученные экспериментальным путем из анализа картин полос изохром вблизи вершины трещины и вычисленные в соответствии с (20), приведены на рис. 4. Следующее из рис. 4 соответствие теоретических (линия) и экспериментальных (точки) данных свидетельствует о достоверности предложенных представлений.

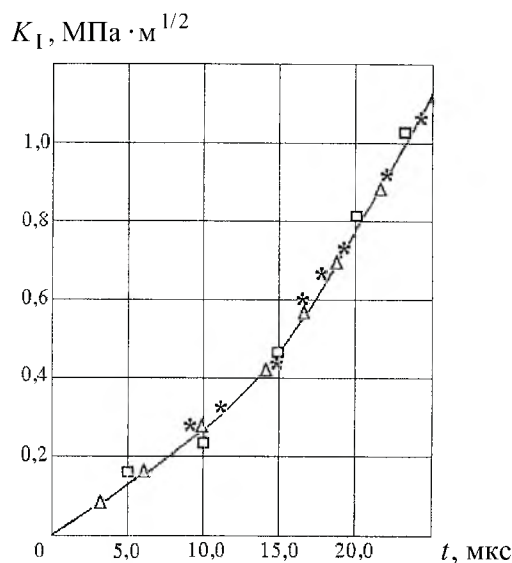


Рис. 4. Изменение коэффициента интенсивности напряжений K_I при симметричном импульсном растяжении пластины с центральной трещиной.

Заклучение. Развитый в настоящей работе подход к описанию процесса формирования НДС вблизи трещины позволяет:

- 1) получить компактные аналитические выражения, описывающие напряженно-деформированное состояние и энергетические потоки вблизи вершины стационарной трещины при произвольном импульсном нагружении;
- 2) с единых позиций подойти к описанию динамических и статических процессов хрупкого разрушения;

3) сформулировать количественный критерий различия между динамическим и квазистатическим нагружением стационарной трещины.

Резюме

Розглянуто напружено-деформований стан та енергетичні потоки у суцільній нескінченній пластині і пластині зі стаціонарною тріщиною скінченної довжини при імпульсному навантаженні. Розроблено модель формування зони підвищених напружень і зони розвантаження та числову методику визначення їх параметрів. Отримано аналітичні вирази для кількісного аналізу напружено-деформованого стану та енергетичних потоків у пластині поблизу вістря стаціонарної тріщини при довільному імпульсному навантаженні. Проведено порівняння теоретичних результатів із даними експерименту по ініціюванню магістральних тріщин у плоских зразках із твердих полімерів. Сформульовано кількісний критерій відмінності між динамічним та квазистатичним навантаженнями тріщини. Показана можливість єдиного підходу до опису динамічного та статичного руйнування.

1. Корнеев А. И., Николаев А. П., Шиповский И. Е. Приложение метода конечных элементов к задачам соударения твердых тел // VII Всесоюз. конф. "Численные методы решения задач теории упругости и пластичности". – Новосибирск, 1982. – С. 122 – 129.
2. Партон В. З., Борисковский В. Г. Динамика хрупкого разрушения. – М.: Машиностроение, 1988. – 240 с.
3. Черепанов Г. П. Механика хрупкого разрушения. – М.: Наука, 1974. – 640 с.
4. Kostandov Yu. A., Rizhakov A. N., Fedorkin S. I. Failure of solid polymers under pulse tension // Strength of Materials. – 1992. – 24 (7). – P. 444 – 447.
5. Костандов Ю. А., Федоркин С. И., Скоблин А. А. Методика исследования процесса разрушения полимерных материалов при динамическом нагружении // Завод. лаб. – 1986. – № 9. – С. 65 – 67.
6. Метод фотоупругости. Методы поляризационно-оптических измерений динамической фотоупругости. Т. 2 / Под ред. Н. А. Стрельчука, Г. А. Хесина. – М.: Стройиздат, 1975. – 312 с.

Поступила 18. 01. 2000